

مجله‌ی علمی، پژوهشی دانشگاه علوم پزشکی زنجان  
دوره‌ی ۲۵، شماره‌ی ۱۰۸، فروردین و اردیبهشت ۱۳۹۶، صفحات ۶۸ تا ۸۰

## اثر نانو ذرات تیتانیوم دی اکسید ناخالص شده با نیتروژن بر رده‌ی سلول سرطانی A-375 ملانومای انسانی

مریم شریفی،<sup>۱</sup> دکتر سید محمد امین موسوی<sup>۲</sup>، دکتر طاهره ناجی<sup>۳</sup>

نویسنده‌ی مسؤول: گروه زیست فناوری پزشکی، پژوهشگاه ملی مهندسی ژنتیک و زیست فناوری، تهران a-moosavi@nigeb.ac.ir

دریافت: ۹۴/۱۰/۱۹ پذیرش: ۹۵/۳/۱۷

### چکیده

**زمینه و هدف:** تیتانیوم دی اکسید ( $TiO_2$ ) یکی از حساسگرهای نوری قوی در فوتودینامیک تراپی (PDT) است که تحت اشعه‌ی فرابنفش (UV) فعال می‌گردد. هدف از این مطالعه بررسی اثر نانو ذرات تیتانیوم دی اکسید ناخالص شده با نیتروژن بر رده‌ی سلولی A-375 ملانومای انسانی بود.

**روش بررسی:** نانوذرات N-TiO<sub>2</sub> توسط مخلوط کردن مکانیکی اوره با پودر  $TiO_2$  به نسبت ۴ به ۱ تهیه شدند. سلول‌های A-375 با غلظت‌های مختلف از N-TiO<sub>2</sub> در فواصل زمانی مختلف در حضور و غیاب نور مرئی تیمار شدند. رشد و زیستایی سلول‌های A-375 به ترتیب به وسیله‌ی آزمون دفع رنگ تریپان بلو و MTT بررسی شدند. رنگ آمیزی آکریدین اورنج/اتیدیوم بروماید و الکتروفورز ژل DNA برای بررسی آپوپتوز به کار برده شد.

**یافته‌ها:** نتایج نشان داد N-TiO<sub>2</sub> فعال شده با نور مرئی می‌تواند سبب مهار رشد به صورت وابسته به غلظت (۱ - ۱۰۰٪ میکروگرم بر میلی لیتر) و زمان شود. کاهش زیستایی در غلظت ۱۰۰ میکروگرم بر میلی لیتر مشاهده شد که نتایج حاصله از میکروسکوپ فلورسنت و قطعه قطعه شدن DNA وقوع مرگ سلولی آپوپتوزیک را در این غلظت نشان می‌دهد.

**نتیجه گیری:** با اثرباری به اثرات ضد سرطانی N-TiO<sub>2</sub> بر سلول‌های A-375 می‌توان این نانوذرات را برای ارزیابی بیشتر به عنوان یک حساسگر نوری جدید در درمان فوتوكاتالیتیکی سرطان پوست پیشنهاد داد.

**واژگان کلیدی:** تیتانیوم دی اکسید، ناخالص سازی با نیتروژن، فوتودینامیک تراپی، ملانوما

۱- کارشناسی ارشد سلولی و مولکولی، گروه آموزشی سلولی و مولکولی، دانشکده‌ی علوم و فناوری‌های نوین، دانشگاه آزاد اسلامی، واحد علوم دارویی، تهران

۲- دکترای تخصصی بیوشیمی، استادیار گروه زیست فناوری پزشکی، پژوهشگاه ملی مهندسی ژنتیک و زیست فناوری، تهران

۳- دکترای تخصصی بیولوژی آبزیان، استادیار گروه آموزشی سلولی و مولکولی، دانشکده‌ی علوم و فناوری‌های نوین، دانشگاه آزاد اسلامی، واحد علوم دارویی، تهران

## مقدمه

و همکاران بر روی سلول‌های Hela گزارش شد (۱۳). در ادامه محققان زیادی تاثیرات سمی و کشنده‌ی  $TiO_2$  را بر روی سلول‌های سرطانی در حضور اشعه‌ی UV به اثبات رسانندند. به طور مثال خواص ضد سرطانی نانوذرات  $TiO_2$  MDA-MB-468 و MCF-7 در سلول‌های سرطانی (کارسینومای سینه)، Hela (کارسینومای دهانه‌ی رحم)، WIL2-NS (لنفوپلاستوئید)، T24 (کارسینومای کولون) اثبات شده است (۱۴-۱۹). تحت تابش UV با طول موج کمتر از ۳۸۷ نانومتر، الکترون‌های موجود در لایه‌ی ظرفیت  $TiO_2$  برانگیخته شده و به لایه‌ی هدایت می‌روند و در نتیجه جفت الکترون-حفره پدید می‌آید، که قادر به القای استرس اکسیداتیو از طریق تولید گونه‌های واکنشگر اکسیژن مثل آنیون سوپر اکسید ( $O_2^-$ )، رادیکال هیدروکسیل ( $OH^{\circ}$ )، اکسیژن منفرد ( $O_2^{\cdot}$ ) و پراکسید هیدروژن ( $H_2O_2$ ) می‌شود که با مولکول‌های بیولوژیک واکنش می‌دهند و موجب آسیب به آنها و در نهایت موجب القای مرگ سلولی می‌شوند (۲۰). با این وجود یکی از مهم‌ترین محدودیت‌ها در استفاده از نانوذرات  $TiO_2$  بالا بودن سطح انرژی شکاف-باند (۳/۲) الکترون ولت برای ایزوتوپ آناتاز ( $TiO_2$ ) است که موجب می‌شود این نانو ذره تحت تاثیر نور UV برانگیخته شود (۲۱). اشعه‌ی UV، اشعه‌ی زیان بخش است که مانع کاربردهای عملی و سودمند در درمان سرطان می‌شود. همچنین در مورد نانوذرات  $TiO_2$  نیز امکان بازترکیبی الکترون-حفره نیز وجود دارد (۲۲). به دلایل فوق لازم است این فتوکاتالیست به نحوی اصلاح شود. از این رو تلاش‌های بسیاری جهت بهبود فعالیت فتوکاتالیتیکی  $TiO_2$  و کاهش خواص بازترکیبی صورت گرفته است. ناخالص سازی با فلزاتی از قبیل آهن (Fe)، کبالت (Co)، نیکل (Ni) و نافلزاتی از قبیل نیتروژن (N)، کربن (C)، گوگرد (S) سبب بهبود فعالیت فتوکاتالیتیکی این نانوذره، تحت نور مرئی با

سرطان‌ها علت ۹ درصد از کل مرگ‌ها و دومین علت عمده‌ی مرگ و میر در جهان هستند که در این بین سرطان پوست یکی از شایع‌ترین انواع سرطان‌ها در اکثر کشورها می‌باشد که به دو گروه ملانومایی و غیر ملانومایی تقسیم می‌شود (۱). ملانوما تومور بدخیم پوست با منشا ملانوسیت‌ها است که نوع ملانومایی سرطان پوست است. ملانوما ۲ درصد از کل سرطان‌ها را شامل می‌شود که کشنده‌ترین نوع سرطان پوست است و طی ۲۰ سال اخیر بروز آن دو برابر شده است (۳ و ۲). روش‌های درمانی ملانوما شامل جراحی، شیمی درمانی، پرتودرمانی، هورمون درمانی و فوتودینامیک تراپی (PDT) می‌باشد (۴-۶). PDT یک روش غیر تهاجمی است که موجب کم‌ترین آسیب به بافت‌های نرم‌الاطراف ضایعه می‌شود (۷). PDT فعال سازی یک ماده‌ی حساسگر نوری از طریق نور است که منجر به تولید عوامل سمی کشنده‌ای مثل ROS (Reactive Oxygen Species) می‌شود که در نهایت موجب القای مرگ سلولی می‌شود (۸).

نانوذرات  $TiO_2$  نیمه رسانا هستند به عنوان یک کاتالیزور نوری منحصر به فرد شناخته شده است، دلیل آن سمیت کم، پایداری بالا، سازگاری زیستی فوق العاده، واکنش‌پذیری نوری، ارزان بودن و در دسترس بودن این نانوذره است که به سه شکل کریستالی آناتاز، روتیل و بروکیت یافت می‌شوند. در این بین آناتاز بیشترین سهم فعالیت فتوکاتالیتیکی را دارد (۹). اثر خود تمیز شوندگی، نقش ضد بخار، خاصیت ضد میکروبی، تصفیه‌ی هوا و آب، استفاده در سلول‌های خورشیدی و همچنین کاربرد در زمینه‌های پزشکی از کاربردهای نانوذرات  $TiO_2$  می‌باشد (۱۱). از جمله کاربردهای پزشکی که امروزه توجه ویژه‌ای به آن شده است می‌توان به PDT برای درمان سرطان، دارورسانی، عکس برداری و تشخیص زود هنگام اشاره کرد (۱۲). فعالیت ضد سرطانی و کشنده‌گی  $TiO_2$  برای اولین بار توسط فوجی شیما

شد و پس از تهیه‌ی رقت‌های مورد نظر جهت تیمار سلولی مورد استفاده قرار گرفت.

**کشت سلولی:** رده‌ی سلولی A-375 از مرکز ملی ذخایر زنگنه و زیستی ایران تهیه شد. برای رشد سلول‌ها از محیط کشت DMEM که غنی شده با سرم جنین گاوی (FBS) ۱۰ درصد و آنتی‌بیوتیک‌های استروپتومایسین (۱۰۰ میکروگرم بر میلی‌لیتر) و پنی‌سیلین (۱۰۰ واحد بر میلی‌لیتر) (انگلیس Biosera) بود، استفاده گردید. سلول‌ها در مدت کشت سلولی در انکوباتور با شرایط  $CO_2$  ۵ درصد، رطوبت ۹۵ درصد و دمای ۳۷ درجه‌ی سانتی‌گراد قرار گرفتند و نیز هر ۴۸ ساعت یک بار مورد پاساز و تعویض مجدد محیط کشت قرار گرفتند.

**بررسی ریخت شناسی سلولی:** به منظور بررسی اثرات نانوذرات N-TiO<sub>2</sub> بر تغییرات ریخت شناسی سلول‌های A-375 تعداد  $15 \times 10^3$  سلول در پلیت ۹۶ چاهکی قرار داده شد. پس از ۲۴ ساعت سلول‌ها با غلظت‌های ۰/۰۱ تا ۱۰۰ میکروگرم بر میلی‌لیتر تیمار شدند و به مدت ۲۰ دقیقه در معرض لامپ زنون ۵۰ وات قرار گرفتند، سپس انرژی نوری معادل ۲۴ ژول بر سانتی‌متر مربع که توسط دستگاه ترمومیل سنجیده شده است به نمونه‌ها وارد شد. جهت حذف امواج UV از فیلتر ۴۰۰ نانومتر استفاده شد. پس از گذشت ۲۴ و ۴۸ ساعت، تغییرات ریخت شناسی سلول‌های تیمار شده و تیمار نشده (کترل) با استفاده از میکروسکوپ نوری معکوس مورد ارزیابی قرار گرفت.

**بررسی رشد و زیستایی سلولی:** برای بررسی رشد و زیستایی سلولی از آزمون دفع رنگ تریپان بلو استفاده شد. بدین منظور تعداد  $15 \times 10^3$  سلول در هر چاهک پلیت ۹۶ چاهکی با N-TiO<sub>2</sub> غلظت‌های ۰/۰۱ تا ۱۰۰ میکروگرم بر میلی‌لیتر از FBS تیمار شد. سپس در معرض نور مرئی در حضور فیلتر ۴۰۰ نانومتر به مدت ۲۰ دقیقه قرار گرفت. پس از گذشت

طول موج بیشتر از ۴۰۰ نانومتر می‌شود (۲۳). دلیل انتخاب نیتروژن از میان نافلزات، پایداری بالا، انرژی یونیزاسیون کم و شبیه بودن اندازه‌ی آن به اکسیژن است (۲۴). تاکنون اثرات ضد سرطانی نانوذرات N-TiO<sub>2</sub> در سلول‌های سرطانی K562 (لوسمی انسان)، Hela (کارسینومای دهانه رحم)، QGY (کارسینومای کبد) و KB (کارسینومای نازوفارنکس) بررسی شده است (۲۵ و ۲۰). این مطالعه به منظور بررسی اثرات ضد سرطانی N-TiO<sub>2</sub> در رده‌ی سلولی A-375 ملانومای انسانی صورت پذیرفت.

### روش بررسی

**تهیه‌ی نانوذرات N-TiO<sub>2</sub>:** نانوذرات N-TiO<sub>2</sub> توسط مخلوط کردن مکانیکی اوره (Merck-آلمان) با پودر Coteix-KA-TiO<sub>2</sub> (۹۹ درصد-Coteix-کره جنوبی) به نسبت ۴ به ۱ در دانشگاه تبریز تهیه شد. ابتدا این مواد تحت اتمسفر هوا در دمای ۴۰۰ درجه‌ی سانتی‌گراد با نرخ گرمایش ۱۰ دقیقه سانسی‌گراد در دقیقه قرار گرفت، سپس تا رسیدن به دمای اتاق سرد شد. پس از خرد کردن در آون، پودر زرد رنگ سبک وزنی به دست آمد که اندازه‌ی کریستال‌های آن ۸۰ نانومتر و مساحت سطح ویژه‌اش ۹/۸۲ مترمربع بر گرم بود. این مشخصات توسط میکروسکوپ الکترونی گزاره (TEM) و انکسار اشعه‌ی X (XRD) و آنالیزهای BET تایید شد (۲۵ و ۲۶).

**تهیه‌ی استوک N-TiO<sub>2</sub>:** ابتدا استوک ۲/۵ میلی‌گرم بر میلی‌لیتر از نانوذرات N-TiO<sub>2</sub> در محیط کشت DMEM تهیه شد. سپس جهت حذف تجمعات نانوذرات، سوسپانسیون حاصل به مدت ۲۰ دقیقه تحت نوسان اولتراسونیک با قدرت ۵۰ درصد قرار گرفت. نهایتاً ۱۰ درصد حجمی-حجمی به عنوان عامل پایدار کننده‌ی سوسپانسیون، "عامل پایدارکننده و مهارکننده تجمعات (Aggregation)" افزوده

لامل پوشانده شد و سپس با میکروسکوپ فلورسنت تصویر برداری گردید.

**مطالعه‌ی آپوپتوز با آزمون قطعه قطعه شدن DNA:** برای بررسی قطعه قطعه شدن DNA از الکتروفوروز ژل آگارز استفاده گردید. بدین منظور تعداد  $35 \times 10^4$  سلول را در پلیت ۲۴ چاهکی قرار داده شد. پس از گذشت ۲۴ ساعت سلول‌ها با غلظت ۱۰۰ میکروگرم بر میلی‌لیتر از N-TiO<sub>2</sub> تیمار شدند. سپس تحت تاثیر نور مرئی قرار گرفتند. پس از سانتریفوژ، سلول‌ها با ۲۰ میکرولیتر بافر لیز کننده شامل (EDTA) ۱۰۰ میلی‌مولار، SDS (۰/۸ درصد وزنی-حجمی)، Tris-HCl (۲۰ میلی‌مولار، PH = ۸) لیز شدند. سپس مقدار ۱۰ میکرولیتر پروتئیناز K اضافه گردید و به مدت یک شب در دمای ۵۰ درجه‌ی سانتی‌گراد نگهداری شد. پس از افزودن ۵ میکرولیتر بافر لودینگ ۶× (گلیسرول ۳۰ درصد و بروموفنول بلو ۲۵ درصد) هر یک از نمونه‌های موجود در چاهک‌های ژل آگارز ۱/۵ درصدی بارگذاری شد. با انجام الکتروفوروز قطعات DNA از هم جدا شده و مورد تجزیه و تحلیل قرار گرفتند.

**روش آماری:** در مطالعه‌ی پژوهشی حاضر که تجربی-آزمایشگاهی می‌باشد، تمامی داده‌های به دست آمده حاصل سه بار تکرار از سه آزمایش مستقل بوده و داده‌ها با استفاده از نرمافزار Excel و آزمون آماری SPSS مورد تجزیه و تحلیل آماری قرار گرفت و داده‌های با ارزش  $P < 0.05$  از نظر آماری معنی‌دار تلقی شدند.

### یافته‌ها

N-TiO<sub>2</sub> فعال شده توسط نور، سبب ایجاد تغییرات ریخت شناسی در سلول‌های A-375 می‌گردد. بررسی تغییرات ریخت شناسی سلول‌های A-375 تیمار شده با N-TiO<sub>2</sub> با استفاده از میکروسکوپ نوری نشان دهنده‌ی تغییرات در ظاهر سلول‌های تیمار شده با N-TiO<sub>2</sub> می‌باشد.

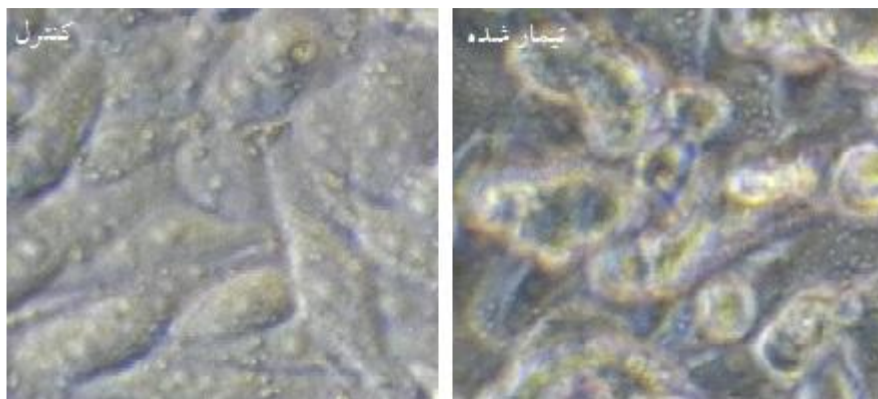
۲۴ و ۴۸ ساعت، تعداد سلول‌های هر چاهک با استفاده از هموسایتومتر و رنگ تریپان بلو مورد سنجش قرار گرفت.

**آزمون ارزیابی سمیت N-TiO<sub>2</sub>:** به منظور بررسی اثرات سمی N-TiO<sub>2</sub> بر سلول‌های A-375 و تایید نتایج به دست آمده از شمارش سلولی از آزمون MTT استفاده شد. به‌طور کلی از آزمون MTT برای اندازه‌گیری سمیت و تکثیر سلولی استفاده می‌شود. بدین منظور تعداد  $15 \times 10^3$  سلول در پلیت ۹۶ چاهکی قرار داده شد. پس از گذشت ۲۴ ساعت سلول‌ها با غلظت‌های ۱، ۱۰ و ۱۰۰ میکروگرم بر میلی‌لیتر N-TiO<sub>2</sub> تیمار شدند و سپس به مدت ۲۰ دقیقه در معرض نور مرئی قرار گرفتند. پس از ۴۸ ساعت ابتدا پلیت حاوی نمونه‌ها توسط پلیت سانتریفوژ کاملاً سانتریفوژ شد. به این ترتیب محتويات داخل هر چاهک کاملاً رسوب کرد، سپس تمامی محتويات مایع روی سلول‌ها دور ریخته و بلاfaciale ۱۰۰ میکرولیتر محیط جدید بدون سرم به سلول‌ها اضافه شد. سپس ۱۰ میکرولیتر محلول MTT به هر چاهک اضافه گردید. پس از ۳ ساعت انکوباسیون کل محتويات روی سلول‌ها را دور ریخته و بلاfaciale ۱۰۰ میکرولیتر محلول دی‌متیل سولفوكساید (DMSO) به هر چاهک اضافه شد تا کریستال‌های فورمازان حل شود. در نهایت جذب نوری محلول به دست آمده در طول موج ۵۸۰ نانومتر توسط دستگاه الایزا قرائت شد.

**مطالعه‌ی آپوپتوز با میکروسکوپ فلورسنت:** جهت بررسی تغییرات ریخت شناسی آپوپتوز در ابتدا به‌طور جداگانه استوک ۱ میلی‌گرم بر میلی‌لیتر از رنگ آکریدین اورنچ و استوک ۱ میلی‌گرم بر میلی‌لیتر از رنگ اتیدیوم بروماید در PBS تهیه شد. محلول‌های فوق به نسبت ۱:۱ حجمی-حجمی مخلوط شدند، سپس ۰/۵ میکرولیتر از محلول حاصل با ۲۰ میکرولیتر از سوسپانسیون سلولی روی لام میکروسکوپی مخلوط شد. بعد از تهیه‌ی اسمیر، سلول‌ها با

تغییرات ایجاد شده بر اثر  $N\text{-TiO}_2$  در حضور نور مرئی شامل مهار رشد این سلول‌ها و خارج شدن این سلول‌ها از شکل طبیعی می‌باشد. همان‌طور که در شکل ۱ مشاهده می‌شود اجسام آپوپتوتیک و سلول‌های مرده قابل تشخیص می‌باشند.

تغییرات ظاهری ۲۴ ساعت پس از تیمار با  $N\text{-TiO}_2$  به صورت وابسته به غلظت آغاز شد و در غلظت ۱۰۰ میکروگرم بر میلی لیتر بیشترین میزان این تغییرات مشخص شد. سلول‌های A-375 به‌طور طبیعی به فرم مشخص شدند، بهترینی که در شکل ۱ مشاهده می‌شود، اپیتلیالی هستند، بهترینی که در شکل ۱ مشاهده می‌شود، اپیتلیالی هستند، بهترینی که در شکل ۱ مشاهده می‌شود، اپیتلیالی هستند، بهترینی که در شکل ۱ مشاهده می‌شود، اپیتلیالی هستند، زمانی که در معرض غلظت ۱۰۰ میکروگرم بر میلی لیتر نانوذره قرار می‌گیرند از سطح جدا شده و به فرم کروی در



شکل ۱: تغییرات ظاهری سلول‌های A-375 تیمار شده با  $N\text{-TiO}_2$  بعد از ۲۴ ساعت با میکروسکوپ نوری معکوس و بزرگ نمایی ۳۲۵، بعد از ۲۴ ساعت مهار رشد سلولی و تشکیل اجسام آپوپتوتیک دیده شد. سلول‌های A-375 در حالت طبیعی به فرم اپیتلیالی و چسبنده هستند، زمانی که در معرض غلظت ۱۰۰ میکروگرم بر میلی لیتر نانوذره قرار می‌گیرند از سطح جدا شده و به فرم کروی در می‌آیند.

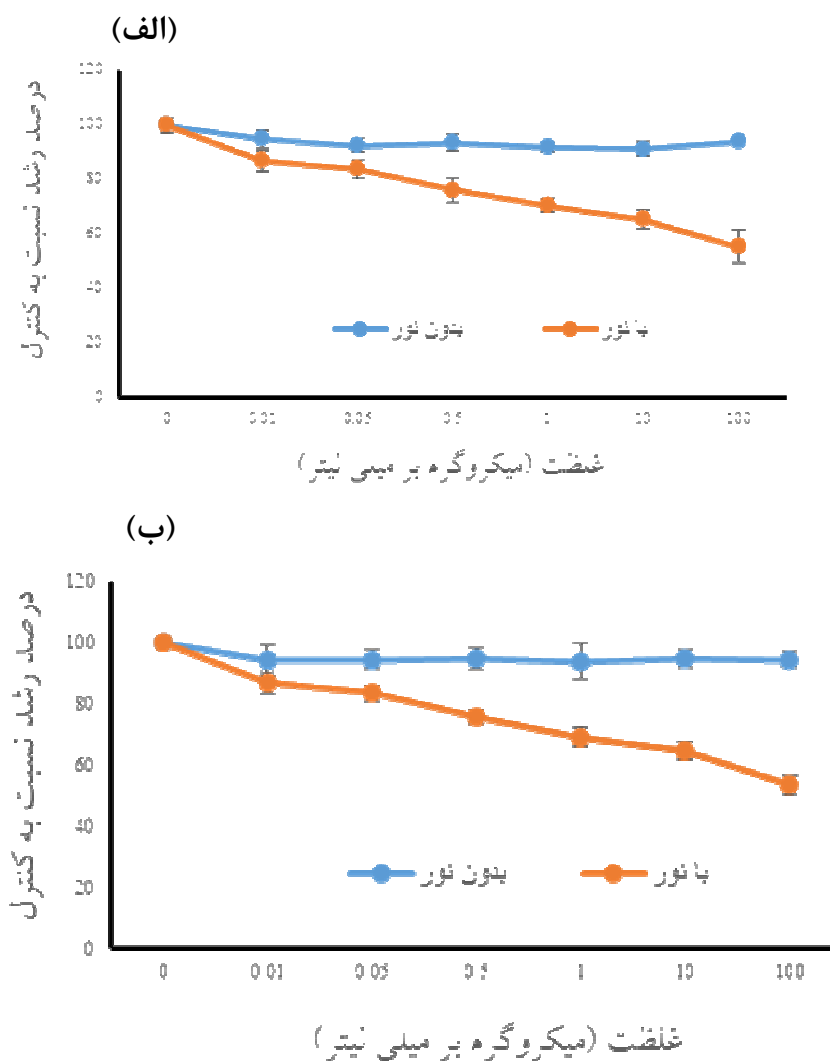
الا مرگ در سلول‌های A-375 در غلظت ۱۰۰ میکروگرم بر میلی لیتر می‌شود و در غلظت‌های دیگر کاهش چشمگیری مشاهده نمی‌شود. نتایج حاصل برای غلظت ۱۰۰ میکروگرم بر میلی لیتر، در ۲۴ ساعت میزان زیستایی برابر با  $72/3$  درصد نسبت به کنترل (شکل ۳-الف) و در ۴۸ ساعت برابر  $67/3$  درصد نسبت به کنترل نشان داد (شکل ۳-ب).

به منظور بررسی اثرات سمجحی  $N\text{-TiO}_2$  بر سلول‌های A-375 و تایید نتایج به دست آمده از شمارش سلولی از آزمون MTT استفاده شد. به‌طور کلی از آزمون MTT برای اندازه‌گیری سمیت و تکثیر سلولی استفاده می‌شود. همان‌طور که در شکل ۴ نشان داده شده است تا اندازه‌ای شاهد کاهش رشد هستیم به خصوص در غلظت ۱۰۰ میکروگرم بر میلی لیتر، اما نتایج آزمون تریپان بلو در آزمون MTT تکرار

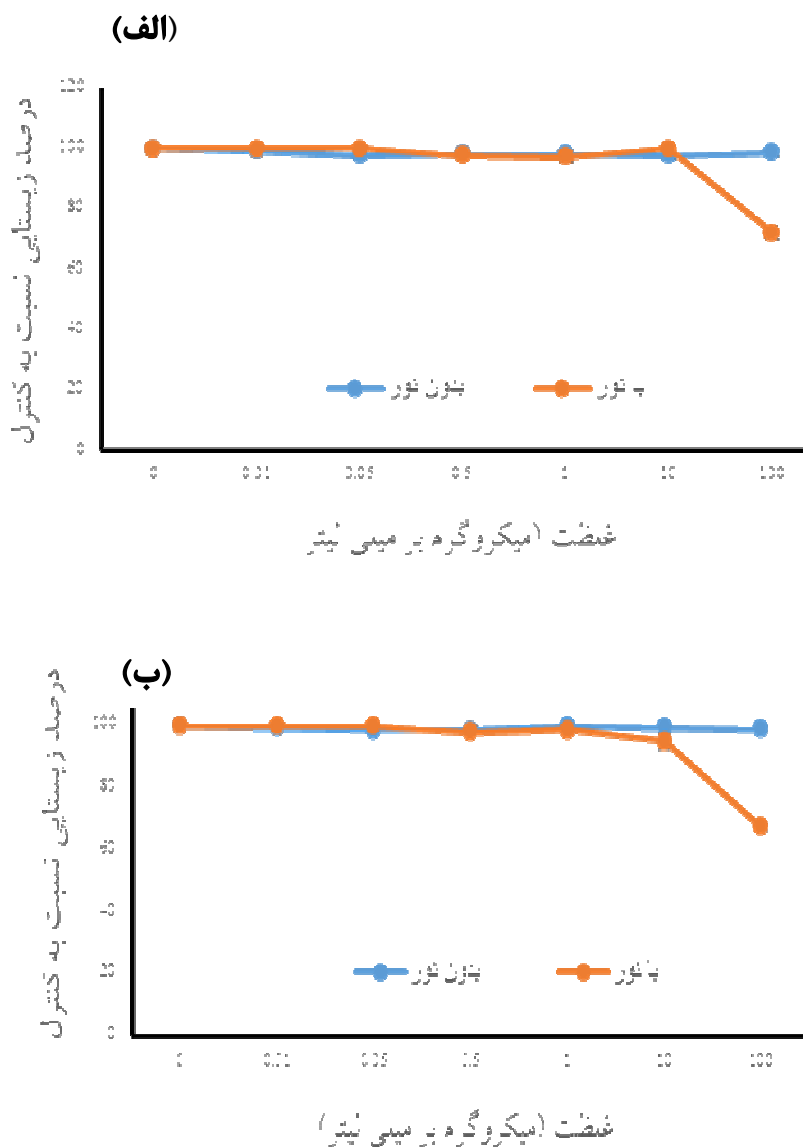
$N\text{-TiO}_2$  فعال شده توسط نور سبب مهار رشد و زیستایی در سلول‌های A-375 می‌گردد. برای بررسی اثرات  $N\text{-TiO}_2$  در حضور نور مرئی بر رشد و تکثیر سلول‌ها از آزمون دفع رنگ تریپان بلو استفاده گردید. همان‌طور که در شکل ۲ نشان داده شده است، اثر مهار رشدی  $N\text{-TiO}_2$  بر روی سلول‌های A-375 تنها وابسته به غلظت بوده و زمان بر روی آن تاثیر چشمگیری ندارد. نتایج برای غلظت‌های  $0/01$  تا  $100$  میکروگرم بر میلی لیتر در ۲۴ ساعت بین  $100$  تا  $55/6$  درصد نسبت به کنترل می‌باشد (شکل ۲-الف) و در ۴۸ ساعت بین  $100$  تا  $53/6$  درصد نسبت به کنترل می‌باشد (شکل ۲-ب). میزان زیستایی این سلول‌ها نیز مورد ارزیابی قرار گرفت (شکل ۳). نتایج حاصل از آزمون تریپان بلو نشان داد که  $N\text{-TiO}_2$  در حضور نور مرئی سبب کاهش زیستایی و

تترازولیوم و کریستال‌های فورمازان که انتظار می‌رود در تست MTT شکل بگیرد نامناسب است (۲۷).  $N\text{-TiO}_2$  فعال شده توسط نور سبب القای آپوپتوز در سلول‌های A-375 می‌گردد.

نمی‌شود، که مهم‌ترین دلیل آن این است که نانوذره  $N\text{-TiO}_2$  در حضور نور مرئی رادیکال آزاد اکسیژن ( $\cdot\text{O}_2$ ) تولید می‌کند که در نتایج تست MTT اختلال ایجاد می‌کند. بر اثر انتقال الکترون از  $\cdot\text{O}_2$  به MTT یک رادیکال حذ واسط به نام رادیکال تترازولینیل تشکیل می‌شود که کاملاً با نمک



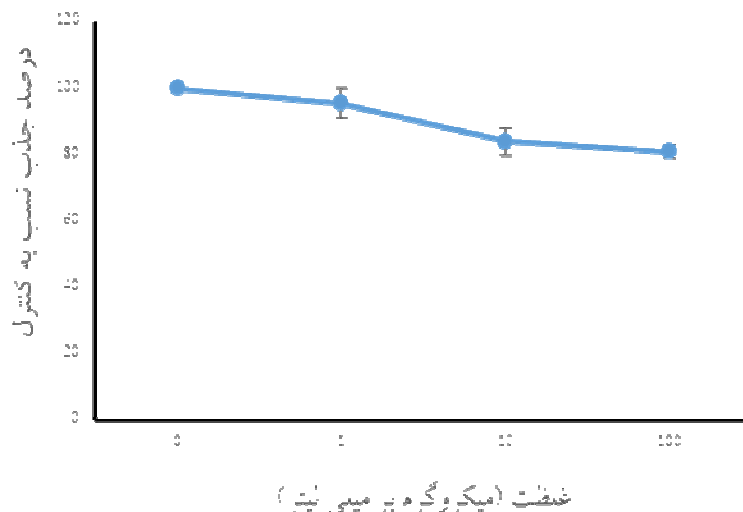
شکل ۲: بررسی اثر  $N\text{-TiO}_2$  تحت تاثیر نور مرئی بر رشد سلول‌های A-375 با استفاده از آزمون دفع رنگ تریبان بلو. (الف) اثر  $N\text{-TiO}_2$  در کاهش رشد سلول‌های A-375 بعد از ۲۴ ساعت به صورت وابسته به غلظت (۰/۰۱ تا ۱۰۰ میکروگرم بر میلی‌لیتر) سبب کاهش رشد و تکثیر سلولی می‌شود. (ب) اثر  $N\text{-TiO}_2$  در کاهش رشد سلول A-375 بعد از ۴۸ ساعت به صورت وابسته به غلظت (۰/۰۱ تا ۱۰۰ میکروگرم بر میلی‌لیتر) سبب کاهش رشد و تکثیر سلولی می‌شود. مقادیر ارایه شده در نمودار به صورت میانگین سه واکنش مستقل  $\pm$  خطای استاندارد (SD) می‌باشد.



شکل ۳: بررسی اثر  $N\text{-TiO}_2$  تحت تاثیر نور مرئی بر زیستایی سلول‌های A-375 با استفاده از آزمون دفع رنگ تربیان بلو.  
 (الف) اثر  $N\text{-TiO}_2$  در زیستایی سلول‌های A-375 بعد از ۲۴ ساعت. ب) اثر  $N\text{-TiO}_2$  در زیستایی سلول‌های A-375 بعد از ۴۸ ساعت. مقادیر ارائه شده در نمودار به صورت میانگین سه واکنش مستقل  $\pm$  خطای استاندارد (SD) می‌باشد.

همان‌طور که در شکل ۵ مشاهده می‌شود با استفاده از میکروسکوپ فلورسنت و رنگ Ao/Et سلول‌های تیمار شده با  $N\text{-TiO}_2$  در غلظت ۱۰۰ میکروگرم بر میلی‌لیتر پس از ۲۴ ساعت به شکل سلول‌هایی با کروماتین نارنجی دیده می‌شوند که نشان دهنده مرگ سلولی از نوع آپوپتوز است و سلول‌های کنترل به رنگ سبز دیده می‌شوند (شکل ۵-الف).

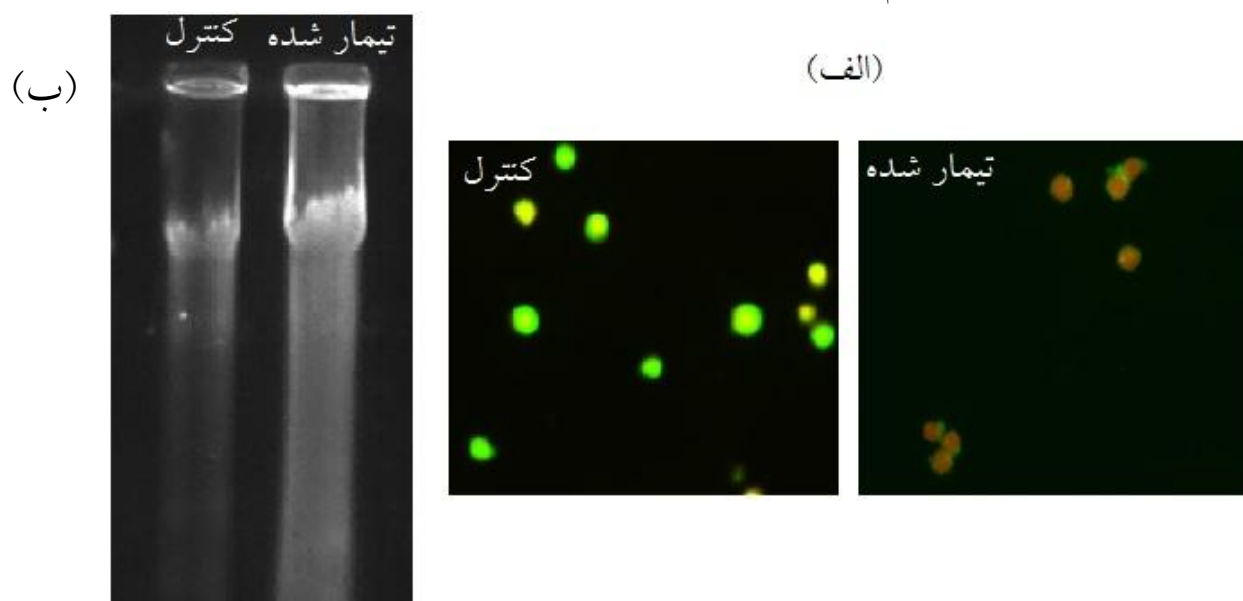
همان‌طور که در شکل ۵ مشاهده می‌شود با استفاده از میکروسکوپ فلورسنت و رنگ Ao/Et سلول‌های تیمار شده با  $N\text{-TiO}_2$  در غلظت ۱۰۰ میکروگرم بر میلی‌لیتر پس از



شکل ۳: بررسی اثرات سمی  $N\text{-TiO}_2$  بر سلول‌های A-375 بعد از ۸۱ ساعت با استفاده از آزمون MTT تغییرات به صورت وابسته به غلظت (۱ تا ۱۰۰ میکروگرم بر میلی لیتر) است. مقادیر ارائه شده در نمودار به صورت میانگین دو واکنش مستقل  $\pm$  خطای استاندارد (SD) می‌باشد.

وقوع آپوپتوز در این سلول‌ها و عدم وجود آن در سلول‌های کنترل بودیم (شکل ۵-ب).

همچنین بر اساس نتایج حاصل از آزمون قطعه قطعه شدن DNA در سلول‌های A-375 تحت تیمار با  $N\text{-TiO}_2$  در غلظت ۱۰۰ میکروگرم بر میلی لیتر شاهد



شکل ۵: (الف) بررسی اثر آپوپتوزیک  $N\text{-TiO}_2$  تحت تأثیر نور مرئی بر سلول‌های A-375 با استفاده از میکروسکوپ فلورسنت و رنگ آمیزی  $Ao/Et$  (ب) بررسی اثر آپوپتوزیک  $N\text{-TiO}_2$  تحت تأثیر نور مرئی بر سلول‌های A-375 با استفاده از آزمون قطعه قطعه شدن DNA پس از ۲۴ ساعت در سلول‌های A-375 تحت تیمار با  $N\text{-TiO}_2$  در غلظت ۱۰۰ میکروگرم بر میلی لیتر حالت لکه (Smear) مشاهده شد که حاکی از وقوع آپوپتوز در این سلول‌ها و عدم وجود آن در سلول‌های کنترل می‌باشد.

## بحث

تومور بدخیم پوست با منشا ملانوسیتی ملانوم بدخیم نام دارد که نوع ملانومایی سرطان پوست است و احتمال متاستاز دادن آن بیشتر از دیگر سرطان‌های پوستی می‌باشد (۲۸). فوتودینامیک تراپی یک روش غیر تهاجمی است که در درمان ملانوما بسیار مورد توجه قرار گرفته است (۶ و ۵). با توجه به اهمیت اخیر کاربرد نانوذرات از قبیل  $\text{TiO}_2$  به عنوان حساسگر نوری در تکنیک فوتودینامیک تراپی، ما بر آن شدیم تا مکانیسم اثر یک فرم فعال تراز نظر خاصیت نوری و آنتی‌اکسیدانی را بررسی کنیم. مطالعه‌ی حاضر به منظور بررسی مکانیسم‌های مولکولی اثرات سمی  $\text{N-TiO}_2$  به عنوان  $\text{A-375}$  یک حساسگر نوری تحت تاثیر نور مرئی بر روی رده‌ی سلولی  $\text{A-375}$  ملانومای انسانی صورت پذیرفت. تکنیک درمانی مورد استفاده در این مطالعه تکنیک فوتودینامیک تراپی است که بیشتر در مورد سرطان‌های سطحی مثل سرطان پوست پاسخگو می‌باشد. به همین علت رده‌ی سلولی انتخابی برای این مطالعه، رده‌ی سلولی سرطان پوست از نوع ملانوما  $\text{N-TiO}_2$  می‌باشد. در این مطالعه مشخص شد که نانوذرات در حضور نور مرئی سبب مهار رشد و زیستایی به صورت وابسته به غلظت در سلول‌های  $\text{A-375}$  گردیدند. در مطالعه‌ی که توسط جانگ وونگ ستو و همکاران انجام شد، تاثیر  $\text{TiO}_2$  در حضور UV بر رده‌ی سلولی  $\text{A-375}$  بررسی گردید. یافته‌ها نشان داد که در غلظت‌های ۱۰۰ تا ۴۰۰ میکروگرم بر میلی‌لیتر اثر مهار رشدی مشاهده می‌شود، این اثر مهار رشدی با تغییر در شکل ظاهری این سلول‌ها همراه بود (۲۹). یینگ و همکاران نشان دادند اثرات مهار رشدی در سلول‌های L-02 و Bel-7402 که تحت تاثیر  $\text{TiO}_2$  قرار گرفتند به ترتیب پس از ۴۸ و ۹۶ ساعت مشاهده می‌شود، در حالی که در آزمایش حاضر این اثر پس از گذشت ۲۴ ساعت مشاهده شد (۳۰). در مطالعه‌ی دیگری که روی سلول‌های MCF-7 و MDA-MB-468 (کارسینومای سینه) صورت

گرفت نشان داده شد  $\text{TiO}_2$  در حضور اشعه‌ی فرابنفش (UV) در غلظت‌های ۵ تا ۴۵ میکرومولار به صورت وابسته به غلظت موجب مهار رشد در این سلول‌ها می‌شود (۱۴). همچنین در مطالعه‌ای که توسط موسوی و همکاران بر روی رده‌ی سلولی K562 لوسمی انسان صورت گرفت نشان داده شد که  $\text{N-TiO}_2$  در غلظت‌های ۰/۱ تا ۱۰ میکروگرم بر میلی‌لیتر به صورت وابسته به غلظت و زمان سبب مهار رشد و تغییر در شکل ظاهری این سلول‌ها می‌شود (۲۵). در مطالعه‌ی حاضر اثر مهار رشدی در غلظت‌های ۰/۱ تا ۱۰۰ میکروگرم بر میلی‌لیتر همراه با تغییر در شکل ظاهری این سلول‌ها مشاهده شد. به علاوه نتایج حاصل از میکروسکوپ فلورسنت و همچنین آزمون قطعه قطعه شدن DNA نشان داد که اثرات  $\text{N-TiO}_2$  بر مهار زیستایی سلول‌های A-375 به واسطه‌ی القای آپوپتوز صورت می‌گیرد. در مطالعه‌ای که توسط ژنگ لی و همکاران صورت گرفت، با بررسی تاثیر  $\text{N-TiO}_2$  و  $\text{TiO}_2$  بر روی رده‌های سلولی Hela (کارسینومای دهانه رحم)، QGY (کارسینومای کبد) و KB (کارسینومای نازوفارنکس) بعد از اینکه سلول‌ها در معرض نور مرئی قرار گرفتند، سلول‌هایی که با  $\text{N-TiO}_2$  تیمار شدند باشد خیلی بیشتری نسبت به سلول‌هایی که با  $\text{TiO}_2$  تیمار گردیدند کشته شدند، که البته این اثر کاملاً وابسته به غلظت است و در آخر نتیجه گرفتند که می‌توان از  $\text{N-TiO}_2$  به عنوان یک حساسگر نوری کار آمد در درمان انواع مختلف سرطان‌ها استفاده کرد (۲۰). همچنین در مطالعه‌ای که توسط موسوی و همکاران بر روی رده‌ی سلولی K562 صورت گرفت نشان داده شد که  $\text{N-TiO}_2$  در غلظت ۱۰ میکروگرم بر میلی‌لیتر در حضور نور مرئی سبب القای آپوپتوز می‌شود و در این غلظت کاهش زیستایی تا ۶۰ درصد گزارش شد (۲۵). همچنین مطالعات صورت گرفته بر روی سلول‌های H1299 سرطان ریه حاکی از القای آپوپتوز در غلظت ۲۵۰ میکروگرم بر میلی‌لیتر  $\text{TiO}_2$  بود (۱۷). ثابت شده است که  $\text{TiO}_2$  در

کاهش خصلت بازترکیبی این نانوذره می‌باشد (۲۲).

### نتیجه گیری

با توجه به عملکرد موثر N-TiO<sub>2</sub> در مهار رشد و زیستایی و القای آپوپتوز در سلول‌های A-375 ملانومای انسانی، استفاده از این نانوذرات به عنوان یک حساسگر نوری بالقوه با خواص فتوکاتالیتیکی قوی برای ارزیابی بیشتر به عنوان یک حساسگر نوری ارتقا یافته در درمان فتوکاتالیتیکی ملانوما می‌تواند مورد توجه قرار گیرد. همچنین بررسی اثر نانوذرات N-TiO<sub>2</sub> در شرایط In vivo جهت بررسی امکان کاربردهای بالینی آن پیشنهاد می‌شود.

### تشکر و قدردانی

نویسنده‌گان مقاله مراتب تشکر و قدردانی خود را از صندوق حمایت از پژوهشگران کشور، نهاد ریاست جمهوری برای طرح شماره‌ی ۹۲۰۳۰۱۰۲ ابراز می‌دارند. این طرح طی قرارداد شماره ۹۴۰۵۲۴-I-۵۰۶ پژوهشگاه ملی مهندسی ژئوتکنیک و زیست فناوری صورت گرفته است.

حضور UV موجب القای آپوپتوز در سلول‌های A-375 می‌گردد (۲۹). القای آپوپتوز در رده‌ی سلولی MDA-MB-468 توسط TiO<sub>2</sub> در حضور UV نیز به اثبات رسیده است (۱۴). یکی از راههای فرار از سلطانی شدن سلول‌ها آپوپتوز است و هرگونه اختلال در این فرآیند منجر به سلطانی شدن سلول‌ها می‌گردد. بدین منظور القای آپوپتوز در سلول‌های A-375 توسط N-TiO<sub>2</sub> در حضور نور مرئی به واسطهٔ تولید ROS رخ می‌دهد. القای آپوپتوز به واسطهٔ استرس اکسیداتیو می‌باشد. استرس اکسیداتیو زمانی روی می‌دهد که تولید ROS بیش از ظرفیت حفاظت بخشی دفاع‌های آنتی‌اکسیدانی باشد (۳۱). در مطالعهٔ صورت گرفته کاربرد N-TiO<sub>2</sub> به منظور افزایش استرس اکسیداتیو و در نتیجه القای مرگ سلولی به عنوان راهکار جدید در از بین بردن سرطان مطرح می‌باشد. همان طور که بیان شد نانوذرات TiO<sub>2</sub> تحت تاثیر اشعهٔ UV برانگیخته می‌شوند، از آنجا که این طول موج برای بدن مضر است و امکان بازترکیبی الکترون-حفره وجود دارد، ناخالص سازی TiO<sub>2</sub> با نیتروژن یکی از راههای اصلاح خواص فتوکاتالیتیکی و

### References

- 1- Leiter U, Garbe C. Epidemiology of melanoma and nonmelanoma skin cancer-the role of sunlight. *Adv Exp Med Biol.* 2008; 624: 89-103.
- 2- Marks R. An overview of skin cancers. *Cancer.* 1995; 75: 607-12.
- 3- Mortazavi F, Abdolmaleki K, Samety A, Hashemian A, Haghjooy Javanmard S. The role of heme oxygenase -1 system in melanoma tumor growth of C57Bl/6 mice. *J Zanjan Univ Med Sci.* 2014; 22: 52-60.
- 4- Retsas S. Adjuvant therapy of malignant melanoma: is there a choice? *Crit Rev Oncol Hematol.* 2001; 40: 187-93.
- 5- Jhappan C, Noonan FP, Merlin G. Ultraviolet radiation and cutaneous malignant melanoma. *Oncogene.* 2003; 22: 3099-112.
- 6- Wan MT, Lin JY. Current evidence and applications of photodynamic therapy in dermatology. *Clin Cosmet Investig Dermatol.* 2014; 7: 145-63.
- 7- Choudhary S, Nouri K, Elsaie ML.

- Photodynamic therapy in dermatology: a review. *Lasers Med Sci.* 2009; 24: 971-80.
- 8- Zhao B, He Y-Y. Recent advances in the prevention and treatment of skin cancer using photodynamic therapy. *Expert Rev Anticancer Ther.* 2010; 10: 1797-809.
- 9- Li Z, Pan X, Wang T, Wang P-N, Chen J-Y, Mi L. Comparison of the killing effects between nitrogen-doped and pure TiO<sub>2</sub> on HeLa cells with visible light irradiation. *Nanoscale res lett.* 2013; 8: 96.
- 10- Hayati Roodbari N, Parivar P, Badiei B, Zolfaghari Barogh S. Cytotoxic effects of nano-titanium dioxide on forelimb bud development in NMRI Mouse Embryos In vivo. *J Zanjan Univ Med Sci.* 2014; 22: 11-24.
- 11- Nakata K, Fujishima A. TiO<sub>2</sub> photocatalysis: design and applications. *J Photochem Photobiol C Photochem Rev.* 2012; 13: 169-89.
- 12- Yin ZF, Wu L, Yang HG, Su YH. Recent progress in biomedical applications of titanium dioxide. *Phys Chem Chem Phys.* 2013; 15: 4844-58.
- 13- Fujishima A, Ohtsuki J, Yamashita T, Hayakawa S. Behavior of tumor cells on photoexcited semiconductor surface. *Photomed Photobiol.* 1986; 8: 45-6.
- 14- Lagopati N, Tsilibary E-P, Falaras P, et al. Effect of nanostructured TiO<sub>2</sub> crystal phase on photoinduced apoptosis of breast cancer epithelial cells. *Int J Nanomedicine.* 2014; 9: 3219- 30.
- 15- Zhang S, Yang D, Jing D, et al. Enhanced photodynamic therapy of mixed phase TiO<sub>2</sub> (B)/anatase nanofibers for killing of heLa cells. *Nano Res.* 2014; 7: 1659-69.
- 16- Wang JJ, Sanderson BJ, Wang H. Cyto-and genotoxicity of ultrafine TiO<sub>2</sub> particles in cultured human lymphoblastoid cells. *Mutat Res.* 2007; 628: 99-106.
- 17- Lee YS, Yoon S, Yoon HJ, et al. Inhibitor of differentiation 1 (Id1) expression attenuates the degree of TiO<sub>2</sub>-induced cytotoxicity in H1299 non-small cell lung cancer cells. *Toxicol lett.* 2009; 189: 191-9.
- 18- Kubota Y, Shuin T, Kawasaki C, et al. Photokilling of T-24 human bladder cancer cells with titanium dioxide. *Br J Cancer.* 1994; 70: 1107.
- 19- Zhang AP, Sun YP. Photocatalytic killing effect of TiO<sub>2</sub> nanoparticles on LS-174-t human colon carcinoma cells. *World J Gastroenterol.* 2004; 10: 3191-3.
- 20- Li Z, Mi L, Wang P-N, Chen J-Y. Study on the visible-light-induced photokilling effect of nitrogen-doped TiO<sub>2</sub> nanoparticles on cancer cells. *Nanoscale Res Lett.* 2011; 6: 356.
- 21- Khataee A, Zarei M, Fathinia M, Jafari MK. Photocatalytic degradation of an anthraquinone dye on immobilized TiO<sub>2</sub> nanoparticles in a rectangular reactor: Destruction pathway and response surface approach. *Desalination.* 2011; 268: 126-33.
- 22- Byrne JA, Fernandez-Ibanez PA, Dunlop PS, Alrousan D, Hamilton JW. Photocatalytic enhancement for solar disinfection of water: a review. *Int J Photoenergy.* 2011; 2011: 798051.

- 23- Zaleska A. Doped-TiO<sub>2</sub>: a review. *Recent Patents on Engineering*. 2008; 2: 157-64.
- 24- Asahi R, Morikawa T, Ohwaki T, Aoki K, Taga Y. Visible-light photocatalysis in nitrogen-doped titanium oxides. *Science*. 2001; 293: 269-71.
- 25- Moosavi SMA, Khataee A, Moasses Ghafari S. Study of the photocatalytic effects of nitrogen-doped titanium dioxide nanoparticles on growth inhibition and apoptosis induction in K562 cell line. *Sci J Kurdistan Uni Med Sci*. 2013; 18: 47-58.
- 26- Khataee A, Zarei M, Moradkhannejhad L, Nourie S, Vahid B. Nitrogen doping of commercial TiO<sub>2</sub> nanoparticles for enhanced photocatalytic degradation of dye under visible light: Central composite design approach. *Adv Chem Lett*. 2013; 1: 24-31.
- 27- Wang S, Yu H, Wickliffe JK. Limitation of the MTT and XTT assays for measuring cell viability due to superoxide formation induced by nano-scale TiO<sub>2</sub>. *Toxicol In Vitro*. 2011; 25: 2147-51.
- 28- Wechter ME, Reynolds RK, Haefner HK, et al. Vulvar melanoma: review of diagnosis, staging, and therapy. *J Low Genit Tract Dis*. 2004; 8: 58-69.
- 29- Seo Jw, Chung H, Kim My, Lee J, Choi Ih, Cheon J. Development of water - soluble single - crystalline TiO<sub>2</sub> nanoparticles for photocatalytic cancer-cell treatment. *Small*. 2007; 3: 850-3.
- 30- Xian ying C, Hong lian D, Yu hua Y, Shi pu L. Selective anti-hepatoma treated with titanium oxide nanoparticles in vitro. *J Wuhan Uni Technol Sci Ed*. 2003; 1: 52-4.
- 31- Maiiese K, Chong ZZ, Hou J, Shang YC. Oxidative stress: Biomarkers and novel therapeutic pathways. *Exp Gerontol*. 2010; 45: 217-34.

## Effect of Nitrogen-Nano Doped of Titanium Dioxide in Human A-375 Melanoma Cancer Cell Line

Sharifi M<sup>1</sup>, Moosavi MA<sup>2</sup>, Naji T<sup>1</sup>

<sup>1</sup>Dept. of Cell & Molecular Biology, Islamic Azad University Pharmaceutical Sciences Branch, Tehran, Iran.

<sup>2</sup>Division of Medical Biotechnology, National Institute for Genetic Engineering and Biotechnology, Tehran, Iran.

**Corresponding Author:** Moosavi, Dept. of Molecular Medicine, Institute of Medical Biotechnology, National Institute of Genetics Engineering and Biotechnology, Tehran, Iran.

**E-mail:** a-moosavi@nigeb.ac.ir

**Received:** 9 Jan 2016    **Accepted:** 6 Jun 2016

**Backgrounds and Objective:** Titanium dioxide ( $TiO_2$ ) is a potent photosensitizer in photodynamic therapy (PDT) and is activated upon ultraviolet (UV) irradiation. The aim of this study was the assessment of the effect of nitrogen –nano doped of titanium dioxide in human A-375 melanoma cancer cell line.

**Materials and Methods:** N- $TiO_2$  nanoparticles were prepared by mechanical mixing of urea with  $TiO_2$  powder in a 4:1 weight ratio. A-375 cells were treated with different concentrations of N- $TiO_2$  for various time intervals in the presence or absence of visible light. The growth and viability of A-375 cells were determined by means of trypan blue exclusion test and MTT assay, respectively. Acridine orange/Ethidium bromide double staining and DNA gel electrophoresis were applied to determine apoptosis.

**Results:** The results showed that visible light activated N- $TiO_2$  could induce growth inhibition in a dose (0.01-100  $\mu g/ml$ ) and time dependent manner. Decrease in viability was observed in 100  $\mu g/ml$  concentration and the results of fluorescent microscopy showed DNA fragmentation due to apoptotic cell death at this concentration.

**Conclusion:** Based on the anti-cancer effects of N- $TiO_2$  on A-375 cells, further evaluation of these nanoparticles as a new photosensitizer in photocatalytic therapy of skin cancer can be proposed.

**Keywords:** *Melanoma, Nitrogen doping, Photodynamic therapy, Titanium dioxide*